

**70381-  
2022**

**2022**

70381—2022

1 ) « » ( -  
 ) « » -  
 » ( « »)

2 271 « »

3 -

4 4 2022 . 1048-

4

29 2015 . 162- « 26 ».  
 ) « ( 1 -  
 — « », « ».  
 ( ) « ».  
 ». , — -  
 —

(www.rst.gov.ru)

© . « », 2022

-  
-

1	.....	1
2	.....	1
3	.....	2
4	.....	3
5	.....	5
6	.....	6
7	.....	7
8	.....	9
9	.....	13
10	.....	17
11	.....	18
12	.....	19
( )	.....	20
( )	.....	21
( )	.....	22
( )	.....	23
	.....	24





70381—2022

**3**

3.1

1

( ) ( ) ( ).

2

3

3.2

1

( ) ( )

2

« » « ».

3.3

:  
( )  
( ),

3.4

:  
/

**3.5**

3.5.1

/ : /

3.5.2

: ( )  
).

3.5.3

: ( )  
).

**3.6**

3.6.1

/ : , -

3.6.2

: -

3.6.3

: -

3.6.4

3.6.4.1

: -

3.6.4.2

/ : /

3.6.4.3	:		
3.6.4.4	:		-
3.6.4.5	:		
(	)		
3.6.4.6	:		
3.6.4.7	:		-
3.6.5	(	)	
3.6.5.1	:		
3.6.5.2	:		
—			
<b>3.7</b>			
3.7.1	:		-
3.7.2	:		-
3.7.3	:		-
3.7.4	:		-
3.8	(	):	-
	40 °C		-
	3		
3.9	:		
( )	( ),		
( )			
3.10	:		-
	1013,25		
—			
3.11	:		
3.12	:	/	-
3.13	:	/	
3.14	:		-
1			
2			-
3 .15	:		-

**4**

70381—2022

1 —

	,	•
<i>HLF</i>		/
<sup>^</sup> <i>sup</i>		/
<sup>^</sup> <i>sub</i>		/
		/
<sup>h</sup> <i>R2</i>		/
<sup>h</sup> <i>R4</i>		/
<sup>h</sup> <i>R5</i>		/
<sup>h</sup> <i>wi</i>		/
<sup>h</sup> <i>W2</i>		/
<i>N</i>		1/
<i>Pfan</i>	( )	
<i>Patm</i>		
<i>Pc</i>		
<i>PR1</i>		
<i>PR2</i>		
<i>Pe</i>		
<i>Pi</i>		
<i>PmR</i>		/
<i>Pva</i>		3/
		°C
<sup>*</sup> <i>R</i>		°C
<i>tRl</i>		°C
<sup>*</sup> <i>R2</i>		°C
<sup>i</sup> <i>RM</i>		°C
<sup>^</sup> <i>sup</i>		°C
<i>t-sub</i>		°C
<sup>i</sup> <i>W</i>		°C
<sup>*</sup> <i>WM</i>		°C
<sup>^</sup> <i>amb</i>		°C
<sup>i</sup> <i>j</i>		°C
<sup>^</sup> <i>sup</i>		
<i>sub</i>		
<i>T</i>		
<i>U</i>		



— 1 = 100 = 10 .  
 ;  
 — ;  
 — ;  
 W— ;  
 R— ;  
 (st) —

**5**

**5.1**

10 20 -  
 ; +0,5 % 1 -  
 / -  
 ( ), -

**5.2**

2 —

	$\Delta, ^\circ$		$\Delta_{sub}$
SC 1	25	15	<3
SC2	25	10	<3

3 —

	$\Delta, ^\circ$	$P_{RV}$		$k_{SC}$
SC 10	25	9000	110	35

$A_{sup}$

4:

4 —

R134a	25
R404A/R507A	25
R407C	35



**7**

**7.1**

5.

5 —

-	°C	±0,2
-	°C	±0,5
- ( )	°C	±0,2
- /		±0,2 ±1,0
- <sup>3)</sup>	<sup>3)/</sup> /	±0,2 %
-	°C	±0,2
-		±0,1
- <sup>3)</sup>	<sup>3)/</sup>	±0,2 %
-		±1 % 1
-		±0,5 %
-		±0,5 %
-		±0,5 %
		±20 %
		±5
	1/	±1 %
<sup>3)</sup>		

**7.2**

**7.2.1**

)

10

70381—2022

)									
7.2.2				/					
7.2.3									
7.2.4									
7.2.5									
7.2.6									
7.2.6.1								0,2	<sup>2</sup>
7.2.6.2									
7.2.6.3			400 500				0,15		
7.2.7									
10									

**7.2.8**

1		-
2		-
3		-
<b>7</b>	<b>.2.9</b>	-
	—	-
<b>7</b>	<b>.2.10</b>	-
	1 % ( )	-
<b>7</b>	<b>.2.11</b> ( )	-
	±2 %	-

**8**

**8.1**

**8.1.1**

-	:	-
-	;	-
-	;	-
±4 %;		-
-	;	-
-	—	-
±4 %,		-

8.1.2, 8.1.3, 8.1.4, 8.1.5 8.1.6.

**8.1.2**

**8.1.2.1**

	( )	-
	( . .1 .2).	-

**1**

		-
		-
		-
		9



8.2

/

[1].

8.3

8.3.1

1

2

0,75 ^

1/600

3/

±1 %.

10 %

±10 %,

±0,5 %

0,25 %

70381—2022

8.3.2

1

2

8.3.3

$\pm 1^\circ\text{C}$ .

2 %

8.3.4





70381—2022

9.2

9.2.1

40 , .

±2,5 %

±0,5 %.

6

9.2.2

)

)

1 .

> <sup>\*sup</sup> ^sub IR4 IR5 ;

9.2.3

1 .

- Pj tf,

9.2.4

50 %

( ) ,

50 %

10 %

[ ] ;

[ ] .

9.3

9.3.1

- )  $1$  ;
- )  $/_1 \pm 0,3$  ;
- )  $\wedge \pm 0,3$  ;
- )  $t_{sup} \pm$  ;
- )  $\pm 2$  ;
- )  $\pm 1,0$  ;
- )  $q_{mR}, q_{mW} \pm 3\%$  ;
- )  $\pm 1,0\%$  ;
- )  $t_{amb} \pm 1$  ;
- )  $\pm 2\%$  .

9.3.2

$\pm 0,5\%$  .

1 .

( )

$\pm 0,5\%$  ,

70381—2022

$$> (200 \cdot I_{\text{с}} \cdot I) / ,$$

$$< 0,5 \% ;$$

—  
—  
—  
—

9.3.3

6.

6 —

€ 1	±3	( 1	±1
	±1	/?1	1
<i>At sup</i>	±10 %		±1
		<i>I</i> R2	±1
	±2 %		±2 %
	±1 %		±1 %

1 .

9.3.4

9.3.4.1

$$/ 1 ,$$

$$: U, t_{sup} P_{fan} , , ,$$

9.3.4.2

$$t_{sup}, t_{sub} \wedge A1' \wedge amb' f_{R4}, /R5;$$

9.3.4.3

$$\{sup' tsub' tR4 > fR5 * 1' * \{t_{R2}\} p_c, P_i, p_e, p_{RV}, p_{R2}, p_{alm}, P_{f3n}, n, T;$$

9.3.4.4

$$' * \{tsub' \wedge 1' * R2' \wedge 41' * \{f_i' * IV1' W' fWM' Pc' P_{pp} PR2- Pfan- n- Pmw \}^{TM} P_{vW- n- 'i}$$

9.3.4.5

:  $q_{mR}$   $q_{vR}$ ,  $t_{RM}$

9.4

/ , -  
 .  
 (20±5) °C.  
 , -  
 0,5 %

15

:  $P_{fan}$ ,  $t_{air}$ ,  $P_{atm}$  -

10

10.1

10.2

10.2.1

$$HLF = \frac{QmW \cdot (W2 \%)}{V \cdot iamb}$$

$h_w^{\wedge}$  —

—

$t_j$  —

$t_{amb}$  —

10.2.2

$$HLF = \frac{1}{v_i \sim iamb}$$

$t_j$  —

$t_{amb}$  —

10.2.3

10.2.3.1

( )

$t_j$  —

$t_{amb}$  —

10.2.3.2

/

70381—2022

10.3

10.3.1

$$1 = \frac{h_{sub}}{h_{R4}} \cdot \psi_{R5}$$

$$) = \left( \frac{h_{R5} - h_{R4}}{h_{R5}} \right) \cdot HLF - t_{gmb}$$

10.3.2  $h_{R4}$

$t_{R4}$

$$) = \frac{h_{R4}}{h_{R5}} \cdot HLF - (t_j)$$

10.3.3

$$1 \sim QmW' (h_{W2} \sim \dots \dots \dots HLF)$$

1-//.

10.3.4

$$2 \sim QmR' (h^{sup} \sim h^{sub})$$

$$2 \sim QmR' (h_{R2} \sim h_{R4})$$

11

11.1

11.1.1

)

11.1.2

(1013,25 )

$$F = 1 + (1013,25 - p_{atm}) \cdot 6,5 \cdot 10^{-4}$$

/

1

1013,25

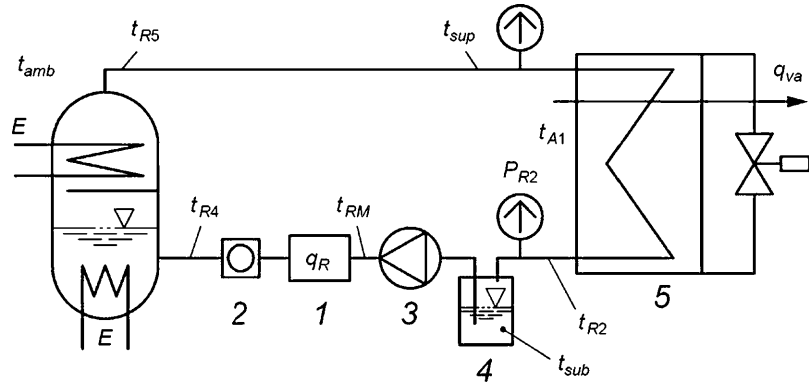
0,065 %

0,065 %



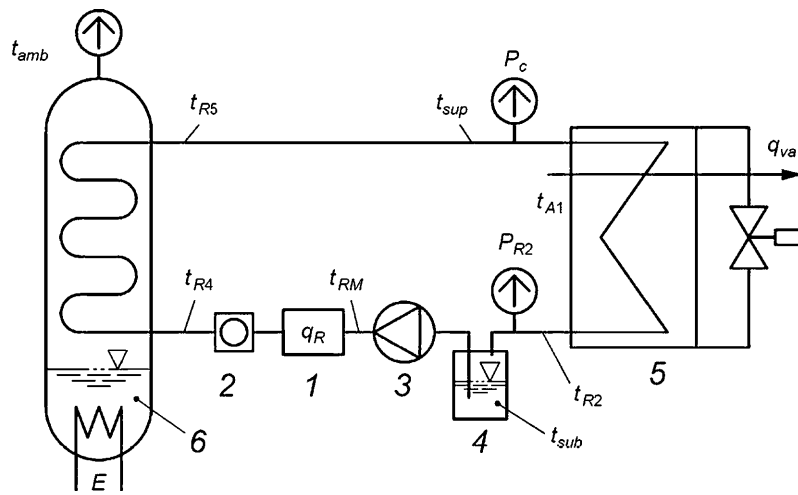
70381—2022

( )



1 — ; 2 — ; 3 — ; 4 — ; 5 — ( )

.1 — ( )

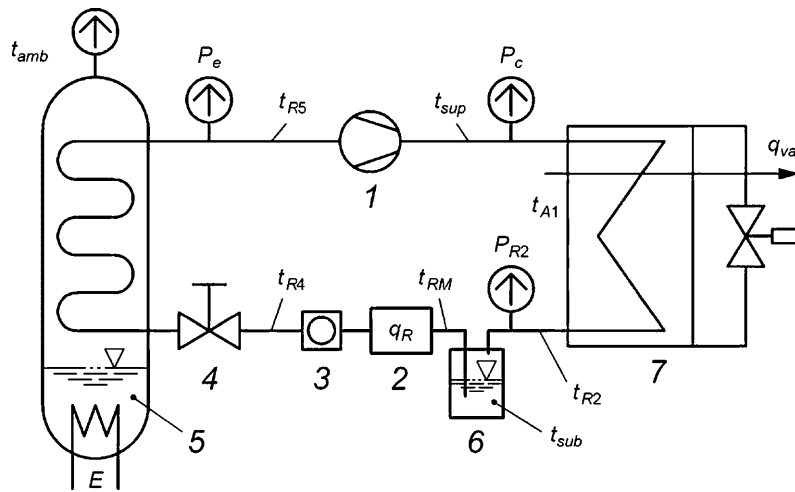


1 — ; 2 — ; 3 — ; 4 — ; 5 — ; 6 — ( ) ;

.2 —



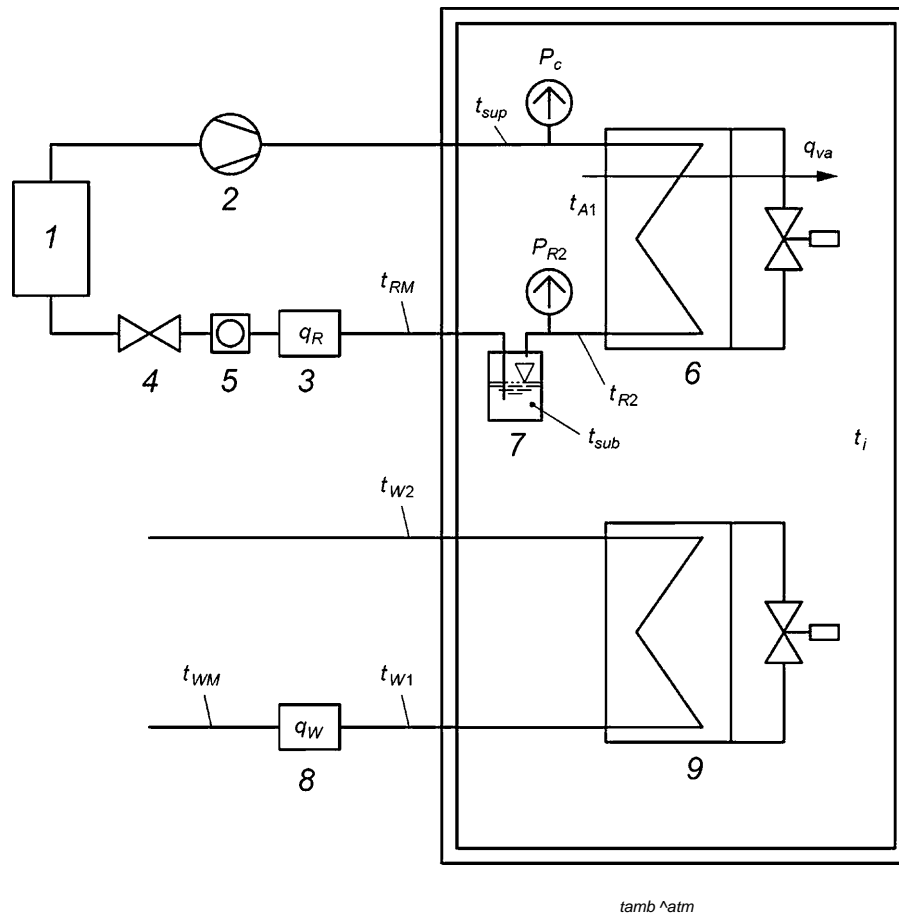
( )



1 — ; 2 — ; 3 — ; 4 — ; 5 —  
 ( ) ; 6 — ; 7 —  
 .1 —

70381—2022

( )



1 — ; 2 — ; 3 — ; 4 — ; 5 —  
 ; 6 — ; 7 — ; 8 — ; 9 —  
 .1 —



70381—2022

[1] 5801:2008

(Industrial fans — Performance testing using standardized airways)

621.5.04:620.165.29:006.354

ОКС 27.080; 27.200

05.10.2022. 18.10.2022. 60x84%.  
3,26. - 2,95.

« »  
117418 , - , .31, .2.  
www.gostinfo.ru info@gostinfo.ru